

УДК 533.9:517.5

АНАЛИТИЧЕСКОЕ РЕШЕНИЕ ЗАДАЧИ О ВЗАИМОДЕЙСТВИИ УДАРНОЙ ВОЛНЫ С МАГНИТОСФЕРОЙ НЕЙТРОННОЙ ЗВЕЗДЫ

© 2014 г. С. И. Безродных, Б. В. Сомов

Представлено академиком А.М. Черепашуком 03.02.2014 г.

Поступило 10.02.2014 г.

DOI: 10.7868/S0869565214220095

1. Нейтронные звезды обладают магнитным полем, напряженность которого достигает 10^{12} – 10^{15} Гс. Столь сильное поле ответственно за возникновение ряда наблюдаемых ярких эффектов, таких как направленный релятивистский выброс плазмы, ускорение частиц до гигантских энергий, всплески жесткого электромагнитного излучения [1–3]. Исследование магнитосфер нейтронных звезд представляет собой актуальную астрофизическую проблему.

Одним из важных вопросов в этой тематике является исследование взаимодействия ударной волны, образованной взрывом сверхновой, с магнитным полем нейтронной звезды. В результате такого взаимодействия формируется магнитосфера, граница которой определяется условием равенства газового давления p набегающего потока плазмы и

давления $\frac{B^2}{8\pi}$ магнитного поля, заполняющего

околосреднее пространство. В хвосте магнитосферы образуется пересоединяющий токовый слой, в котором происходит высвобождение магнитной энергии. Магнитная сила $\mathbf{B} \times \text{rot} \mathbf{B}$ доминирует над градиентом газового давления, гравитационной и другими силами вплоть до значительных расстояний от звезды до границы магнитосферы. В связи с этим для описания магнитогидродинамических процессов в магнитосфере хорошо применимо приближение сильного поля [4].

В настоящей работе в рамках двумерной стационарной модели [5] построено аналитическое решение задачи о (заранее неизвестной) форме границы магнитосферы нейтронной звезды и дано явное представление для магнитного поля. В рассматриваемой модели предполагается, что магнитное поле звезды приближается точечным диполем, а в хво-

сте магнитосферы расположен плоский нейтральный токовый слой. Изучение подобных задач со свободной границей в связи с астрофизическими приложениями имеет давнюю историю и проводилось многими авторами (см., например, [6–11]). Однако решений в замкнутой аналитической форме для моделей с токовыми слоями, по видимому, не было получено.

2. Математическая постановка задачи заключается в следующем. В рассматриваемой модели [5] магнитосфера звезды представляет собой симметричную односвязную область G на комплексной плоскости $z = x + iy$ (рис. 1а).

Магнитное поле $\mathbf{B} = (B_x(x, y), B_y(x, y), 0)$ считается потенциальным в области G за исключением начала координат $z = 0$, где расположен точечный

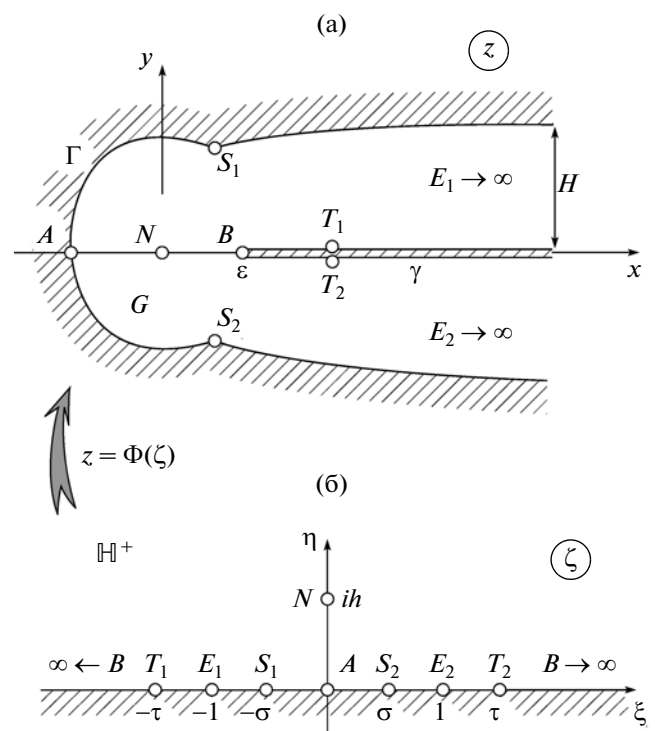


Рис. 1. Схема решения задачи.

Государственный астрономический институт
им. П.К. Штернберга, Москва

Вычислительный центр им. А.А. Дородницына
Российской Академии наук, Москва

магнитный диполь, моделирующий поле звезды; направление диполя совпадает с направлением оси y , а его величина равна μ . Это означает, что функция $\overline{\mathcal{B}}(z)$, сопряженная с "комплексным" магнитным полем $\mathcal{B}(z) = B_x(x, y) + iB_y(x, y)$, является аналитической в $G \setminus \{0\}$, и выполняется асимптотическое соотношение

$$\overline{\mathcal{B}}(z) = i\frac{\mu}{z^2} + O(1), \quad z \rightarrow 0. \quad (1)$$

Граница области G состоит из двух дуг Γ и γ (рис. 1а). Форма кривой Γ , изображающей магнитопазу, заранее неизвестна и определяется равенством внешнего газового давления p потока плазмы и давления магнитного поля \mathcal{B} :

$$\frac{|\mathcal{B}|^2}{8\pi} = p, \quad z \in \Gamma; \quad (2)$$

величина p считается постоянной. Бесконечный прямолинейный разрез γ вдоль вещественной оси представляет собой сечение токового слоя, перпендикулярного плоскости z . Координата $z = \varepsilon$ концевой точки B и полуширина H хвоста магнитосферы на бесконечности заданы.

Предполагается, что магнитное поле не проникает через Γ и γ , т.е. выполняются соотношения

$$(\mathbf{B}, \mathbf{n}) = 0, \quad z \in (\Gamma \cup \gamma), \quad (3)$$

где \mathbf{n} – вектор нормали к Γ или γ .

Для описания поля $\mathcal{B}(z)$ удобно ввести комплексный потенциал, представляющий собой аналитическую функцию $\mathcal{F}(z)$, связанную с $\mathcal{B}(z)$ соотношением

$$i\mathcal{F}'(z) = \overline{\mathcal{B}}(z). \quad (4)$$

Потенциал $\mathcal{F}(z)$ считается непрерывным в $\overline{G} \setminus \{N, E_1, E_2\}$. Условие (3) с учетом такой непрерывности означает, что на дугах Γ и γ границы области G вещественная часть $\mathcal{F}(z)$ принимает постоянные значения, которые полагаем равными соответственно 0 и $-\pi Q$.

Из соотношений (1), (3) получаем следующие условия для потенциала:

$$\mathcal{F}(z) = -\frac{\mu}{z} + O(1), \quad z \rightarrow 0, \quad (5)$$

$$\operatorname{Re} \mathcal{F} = -\pi Q, \quad z \in \gamma; \quad \operatorname{Re} \mathcal{F} = 0, \quad z \in \Gamma. \quad (6)$$

Условие (2), определяющее форму кривой Γ , приобретает вид

$$|\mathcal{F}'(z)|^2 = 8\pi p, \quad z \in \Gamma. \quad (7)$$

Параметрами модели являются величины p , μ , ε и H . Задача заключается в том, чтобы по заданным значениям этих параметров и соотношениям (5)–(7) найти форму границы магнитосферы (кривую Γ) и вычислить магнитное поле $\mathcal{B}(z)$ в области G .

3. Обратимся к решению сформулированной задачи. Введем конформное отображение $z = \Phi(\zeta)$ верхней полуплоскости $\mathbb{H}^+ = \{\zeta: \operatorname{Im} \zeta > 0\}$ на область G с неизвестной граничной дугой Γ . Магнитный потенциал $\mathcal{F}(z)$, определенный в области G , при таком отображении перейдет в функцию

$$\mathcal{P}(\zeta) := \mathcal{F} \circ \Phi(\zeta), \quad (8)$$

для которой в \mathbb{H}^+ возникнет задача, аналогичная (5), (6). После построения Φ и \mathcal{P} кривая Γ и магнитный потенциал \mathcal{F} будут найдены по формулам

$$\Gamma = \{z: z = \Phi(\zeta), \operatorname{Im} \zeta = 0; \operatorname{Re} \zeta \in (-1, 1)\}, \quad (9)$$

$$\mathcal{F}(z) = \mathcal{P} \circ \Phi^{-1}(z),$$

где $\zeta = \Phi^{-1}(z)$ – отображение G на \mathbb{H}^+ , обратное к Φ .

Искомое конформное отображение $z = \Phi(\zeta)$ подчиним следующим условиям, которые его однозначно определяют:

$$\Phi(-1) = E_1, \quad \Phi(1) = E_2, \quad \Phi(\infty) = B. \quad (10)$$

Точки на плоскостях z и ζ , соответствующие друг другу при отображении Φ , будем обозначать одинаковыми буквами (рис. 1). В силу симметрии областей G , \mathbb{H}^+ и выбранных условий (10) прообразом точки N плоскости z , где располагается магнитный диполь, будет точка на мнимой оси плоскости ζ с комплексной координатой, обозначаемой ih .

Функция $\mathcal{P}(\zeta)$, определяемая формулой (8), удовлетворяет на вещественной оси следующим условиям, вытекающим из (5), (6):

$$\operatorname{Re} \mathcal{P}(\zeta) = -\pi Q, \quad \zeta \in (BE_1) \cup (E_2B); \quad (11)$$

$$\operatorname{Re} \mathcal{P}(\zeta) = 0, \quad \zeta \in (E_1E_2);$$

$$\mathcal{P}(\zeta) = -\frac{iM}{\zeta - ih} + O(1), \quad \zeta \rightarrow ih, \quad (12)$$

где $M = \mu|\Phi'(ih)|^{-1}$. Кроме этих условий, задачу для $\mathcal{P}(\zeta)$ дополним еще следующими асимптотиками при $\zeta \rightarrow \pm 1$, согласующимися с условиями (11) разрыва вещественной части аналитической функции $\mathcal{P}(\zeta)$, и асимптотикой на бесконечности, согласующейся с (12):

$$\mathcal{P}(\zeta) = O(\ln|\zeta \pm 1|), \quad \zeta \rightarrow \pm 1; \quad (13)$$

$$\mathcal{P}(\zeta) = O(1), \quad \zeta \rightarrow \infty.$$

Аналитическая в \mathbb{H}^+ за исключением $\zeta = ih$ и непрерывная в $\mathbb{H}^+ \setminus \{E_1, E_2, N\}$ функция \mathcal{P} , удовлетворяющая условиям (11)–(13), единственна [12–14] и имеет следующий вид:

$$\mathcal{P}(\zeta) = iQ \ln \frac{1 + \zeta}{1 - \zeta} + \frac{M}{2h} \left(\frac{\zeta - ih}{\zeta + ih} - \frac{\zeta + ih}{\zeta - ih} \right). \quad (14)$$

Физический смысл задачи (5)–(7) предполагает существование двух точек заострения на кривой Γ и наличие обратного тока в токовом слое. Для этого достаточно предположить (см. пп. 5, 6), что все четыре нуля $\zeta = \pm\sigma, \pm\tau$ производной $\mathcal{P}'(\zeta)$ потенциала (14) вещественны и выполняются не-

равенства $\sigma < 1$, $\tau > 1$. Отсюда получаем следующее обеспечивающее указанные эффекты соотношение для параметров модели:

$$0 < \frac{Q}{M} < \min\{1, h^{-2}\}. \quad (15)$$

С учетом сказанного из (14) находим производную $\mathcal{P}'(\zeta)$ в виде

$$\begin{aligned} \mathcal{P}'(\zeta) &= 2i(Q - M)\mathcal{C}(\zeta), \\ \mathcal{C}(\zeta) &= \frac{(\zeta^2 - \sigma^2)(\zeta^2 - \tau^2)}{(1 - \zeta^2)(\zeta^2 + h^2)^2}, \end{aligned} \quad (16)$$

где числа σ и τ даются равенствами

$$\sigma = \sqrt{\frac{b - \sqrt{D}}{2a}}, \quad \tau = \sqrt{\frac{b + \sqrt{D}}{2a}}, \quad (17)$$

в которых

$$\begin{aligned} a &= M - Q, \quad b = 2h^2Q + (1 + h^2)M, \\ D &= [8h^2(1 + h^2)Q + (1 - h^2)^2M]M. \end{aligned}$$

На рис. 1 точки, соответствующие нулям $\zeta = \pm\sigma$, обозначены S_1, S_2 , а соответствующие нулям $\zeta = \pm\tau, -T_1, T_2$.

4. Перейдем к построению конформного отображения $z = \Phi(\zeta)$. Прежде всего отметим, что условие (7) на Γ при отображении G на \mathbb{H}^+ преобразуется с учетом (8) в следующее соотношение на интервале (E_1E_2) вещественной оси для производной $\Phi'(\zeta)$:

$$|\Phi'(\zeta)| = (8\pi p)^{-1/2} |\mathcal{P}'(\zeta)|, \quad \zeta \in (E_1E_2), \quad (18)$$

где $\mathcal{P}'(\zeta)$ определяется из (16).

Для того чтобы сформулировать условие для $\Phi'(\zeta)$ на остальной части \mathbb{R} , заметим, что луч (BE_1) преобразуется отображением Φ в верхний берег разреза γ , а (E_2B) — в нижний берег этого разреза. Отсюда, используя геометрический смысл аргумента производной конформного отображения, находим

$$\begin{aligned} \arg \Phi'(\zeta) &= 0, \quad \zeta \in (BE_1); \\ \arg \Phi'(\zeta) &= \pi, \quad \zeta \in (E_2B). \end{aligned} \quad (19)$$

Вводя аналитическую функцию

$$\Psi(\zeta) := \ln \Phi'(\zeta) \quad (20)$$

и переписывая с ее помощью равенства (18) и (19), приходим к следующему краевому условию задачи Римана–Гильберта относительно $\Psi(\zeta)$:

$$\Psi(\zeta) = \ln \frac{p_0(\zeta^2 - \sigma^2)[1 - (\tau\zeta + \sqrt{\tau^2 - 1}\sqrt{\zeta^2 - 1})^2]}{(\zeta^2 - 1)(\zeta + \sqrt{\zeta^2 - 1})[1 + (h\zeta + \sqrt{h^2 + 1}\sqrt{\zeta^2 - 1})^2]}, \quad (26)$$

где постоянная p_0 определяется формулой (23).

Из равенств (20) и (26) находим выражение для производной $\Phi'(\zeta)$ искомого конформного отобра-

$$\operatorname{Re}[v(\zeta)\Psi(\zeta)] = c(\zeta), \quad (21)$$

где коэффициент $v(\zeta)$ и правая часть $c(\zeta)$ даются равенствами

$$\begin{aligned} v(\zeta) &= \begin{cases} 1, & \zeta \in (E_1E_2), \\ -i, & \zeta \in (BE_1) \cup (E_2B); \end{cases} \\ c(\zeta) &= \begin{cases} \ln p_0 + \ln |\mathcal{C}(\zeta)|, & \zeta \in (E_1E_2), \\ 0, & \zeta \in (BE_1), \\ \pi, & \zeta \in (E_2B), \end{cases} \end{aligned} \quad (22)$$

$$p_0 = \frac{M - Q}{\sqrt{2\pi p}}, \quad (23)$$

где $\mathcal{C}(\zeta)$ дается вторым равенством (16).

Дополним задачу для $\Psi(\zeta)$ следующими асимптотиками при $\zeta \rightarrow \pm 1$ и $\zeta \rightarrow \infty$:

$$\begin{aligned} \Psi(\zeta) &= O(\ln(\zeta \pm 1)), \quad \zeta \rightarrow \pm 1; \\ \Psi(\zeta) &= O(\ln \zeta), \quad \zeta \rightarrow \infty, \end{aligned} \quad (24)$$

согласующимися с тем, что коэффициент $v(\zeta)$ и правая часть $c(\zeta)$ краевого условия (21) разрывны, а также с предполагаемым видом области G (см. рис. 1а) и с тем, что функция $\Psi(\zeta)$ связана с производной конформного отображения \mathbb{H}^+ на G формулой (20).

Опираясь на [12–14], можно показать, что решение задачи Римана–Гильберта, заключающейся в нахождении аналитической в \mathbb{H}^+ и непрерывной в $\overline{\mathbb{H}^+} \setminus \{E_1, E_2, B\}$ функции $\Psi(\zeta)$, удовлетворяющей условиям (21)–(24), существует, единственно и имеет следующее представление в виде интеграла типа Коши:

$$\Psi(\zeta) = \frac{\mathcal{X}(\zeta)}{\pi i} \int_{\mathbb{R}} \frac{c(t)dt}{\mathcal{X}(t)v(t)(t - \zeta)}, \quad (25)$$

где $\mathcal{X}(\zeta) = \sqrt{\zeta^2 - 1}$ — каноническое решение одно-родной задачи Римана–Гильберта.

5. Вычисляя интеграл (25) с использованием геометрического подхода к задаче Римана–Гильберта [13] и формулы типа Якоби [14] для функции Аппеля F_1 , изучавшейся в [15], получаем

ражения $z = \Phi(\zeta)$. Интегрируя это выражение, получаем представление для отображающей функции $\Phi(\zeta)$ в виде интеграла

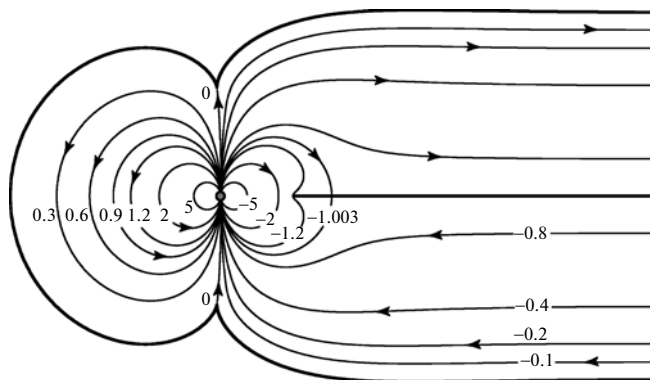


Рис. 2. Форма границы магнитосферы и картина магнитного поля. Соответствующие $p = 1, \mu = 0.15, \varepsilon = 0.08, H = 0.2$.

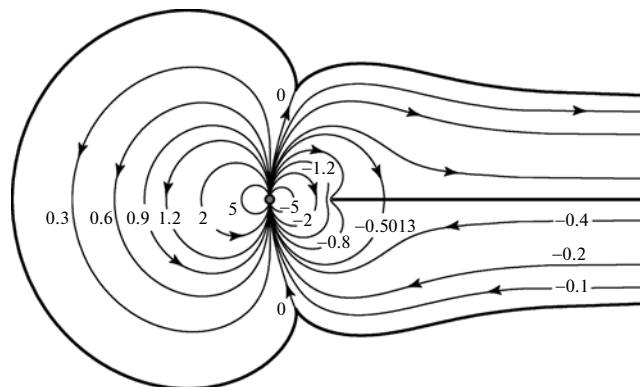


Рис. 3. Форма границы магнитосферы и картина магнитного поля, соответствующие $p = 1, \mu = 0.15, \varepsilon = 0.06, H = 0.1$.

$$\Phi(\zeta) = -2p_0\lambda^{-2}\delta^4 \times \int_{\mathcal{L}(ih)}^{\mathcal{L}(\zeta)} \frac{(t^2 - 2\delta t + 1)(t^2 + 2\delta t + 1)(t^2 - \lambda^2)^2}{t(t^2 - 1)(t^2 + \delta^2)^4} dt, \quad (27)$$

где $\mathcal{L}(\zeta) = \zeta + \sqrt{\zeta^2 - 1}$ – обратная функция Жуковского, а δ и λ выражаются через h и τ по формулам

$$\delta = \sqrt{h^2 + 1} - h, \quad \lambda = \tau - \sqrt{\tau^2 - 1}. \quad (28)$$

Вычисляя интеграл (27) путем разложения подынтегральной функции на простые дроби, получаем $\Phi(\zeta)$ в виде конечной комбинации логарифмов и степеней обратной функции Жуковского:

$$\Phi(\zeta) = \mathcal{K}[\tilde{\Phi}(ih) - \tilde{\Phi}(\zeta)]; \quad (29)$$

$$\tilde{\Phi}(\zeta) = \kappa_1 \ln \mathcal{L}(\zeta) + \kappa_2 \ln[\mathcal{L}^2(\zeta) - 1] + \kappa_3 \ln[\mathcal{L}^2(\zeta) + \delta^2] + \sum_{k=1}^3 c_k [\mathcal{L}_k(\zeta) + \delta^2]^{-k}; \quad (30)$$

$$\kappa_1 = -\frac{2\lambda^4}{\delta^8}, \quad \kappa_2 = \frac{4(1 - \sigma^2)(1 - \lambda^2)^2}{(1 + \sigma^2)^4}, \quad (31)$$

$$\kappa_3 = \frac{\lambda^4}{\delta^8} - \frac{4(1 - \sigma^2)(1 - \lambda^2)^2}{(1 + \delta^2)^4};$$

$$c_1 = -1 + \frac{\lambda^4}{\delta^6} + \frac{4(1 - \sigma^2)(1 - \lambda^2)^2}{(1 + \delta^2)^3},$$

$$c_2 = -\frac{3}{2} + 2\sigma^2 + \lambda^2 + \delta^2 - \frac{\lambda^4}{2\delta^4} + \frac{2(1 - \sigma^2)(1 - \lambda^2)^2}{(1 + \delta^2)^2}; \quad (32)$$

$$c_3 = -\frac{[\delta^4 - 2(1 - \sigma^2)\delta^2 + 1](\delta^2 + \lambda^2)^2}{3\delta^2(\delta^2 + 1)}, \quad (33)$$

$$\mathcal{K} = \frac{(M - Q)\delta^4}{\sqrt{2\pi p}\lambda^2}.$$

Здесь σ и τ даются формулами (17), а δ и λ – формулами (28).

Зависимость величин M, Q и h от параметров p, ε, μ и H модели выражается следующими соотношениями:

$$M|\Phi'(ih)| = \mu, \quad \mathcal{K}\tilde{\Phi}(ih) = \varepsilon, \quad \frac{\pi}{2}\mathcal{K}\kappa_2 = H,$$

где Φ' определяется из формулы (27), а $\tilde{\Phi}, \mathcal{K}$ и κ_2 даются равенствами (30)–(33).

6. Подытоживая результаты пп. 3–5, получаем решение исходной задачи (5)–(7) в явном аналитическом виде: искомая форма границы Γ магнитосферы дается первой, а требуемый магнитный потенциал $\mathcal{F}(z)$ – второй формулой (9), в которых функция \mathcal{P} определяется равенством (14), а конформное отображение $z = \Phi(\zeta)$ – формулами (29)–(33).

На рис. 2 приведены форма Γ границы магнитосферы и распределение линий магнитного поля, соответствующие $p = 1, \mu = 0.15, \varepsilon = 0.08, H = 0.2$, а на рис. 3 – аналогичные данные, соответствующие $p = 1, \mu = 0.15, \varepsilon = 0.06, H = 0.1$. На этих рисунках видны участки обратного тока на внутреннем крае токового слоя, отделенные от участков прямого тока линией магнитного поля, пересекающей слой.

Наличие обратных токов в токовом слое характеризует неравновесную магнитосферу, образованную в результате взаимодействия ударной волны от сверхновой с магнитным полем нейтронной звезды, в отличие от равновесной магнитосферы, например магнитосферы Земли, сформированной квазистационарным потоком плазмы солнечного ветра. Обратный ток позволяет накопить избыток магнитной энергии, который реализуется в виде импульсных всплесков γ -излучения [5] или другого жесткого электромагнитного излучения.

Работа выполнена при финансовой поддержке РФФИ (проект 13–01–00923), Программы ОМН РАН “Современные проблемы теоретической математики” (проект “Оптимальные алгоритмы решения задач математической физики”) и Программы № 3 фундаментальных исследований ОМН РАН.

СПИСОК ЛИТЕРАТУРЫ

1. Neutron Stars and Pulsars / W. Becker. Ed. В.: Springer, 2009.
2. Woods P.M., Kouveliotou C., Göğüs E., et al. // *Astrophys. J.* 2001. V. 552. № 2. Pt 1. P. 748–755.
3. Thompson C., Duncan R. // *Astrophys. J.* 1996. V. 473. № 1. Pt 1. P. 322–342.
4. Somov B.V. Plasma Astrophysics. Pt II. Reconnection and Flares. N.Y.: Springer, 2013.
5. Сомов Б.В. // Письма в Астрон. журн. 2011. Т. 37. № 10. С. 740–753.
6. Chapman S., Ferraro V.C.A // *Terr. Mag.* 1931. V. 36. P. 171–186.
7. Альфвен Х. Космическая электродинамика. М.: Изд-во иностр. лит., 1952.
8. Жигулев В.Н. // *ДАН.* 1959. Т. 126. № 3. С. 521–523.
9. Жигулев В.Н., Ромишевский Е.А. // *ДАН.* 1959. Т. 127. № 5. С. 1001–1004.
10. Unti T., Atkinson G. // *J. Geophys. Res. Spec. Phys.* 1968. V. 73. P. 7319–7327.
11. Оберц П. // *Геомагнетизм и аэрономия.* 1973. Т. 13. В. 5. С. 896–905.
12. Мухелишвили Н.И. Сингулярные интегральные уравнения. М.: Наука, 1968.
13. Безродных С.И., Власов В.И. Междунар. конф. “Дифференциальные уравнения и смежные вопросы”, посв. памяти И.Г. Петровского. Тезисы докл. Москва, 21–26 мая 2007 г. М., 2007. С. 36.
14. Безродных С.И. Сингулярная задача Римана–Гильберта и ее приложение. Дис. канд. физ.-мат. наук. М. ВЦ РАН, 2006.
15. Бейтмен Г., Эрдейи А. Высшие трансцендентные функции. Гипергеометрическая функция. Функции Лежандра. М.: Наука, 1973.